

## ЭЛЕКТРОЛЮМИНЕСЦЕНЦИЯ В $p-i-n$ -СТРУКТУРАХ НА ОСНОВЕ $a\text{-Si}_{1-x}\text{C}_x:\text{H}$

Жерздев А. В., Карпов В. Г., Певцов А. Б., Пилатов А. Г.,  
Феоктистов Н. А.

Представлены экспериментальные данные по электролюминесценции в видимой области спектра в  $p-i-n$ -структуре на основе  $a\text{-Si}_{1-x}\text{C}_x:\text{H}$ . Исследовано влияние на спектр излучения туннельно-прозрачных диэлектрических прослоек между собственным и легированными слоями. Интерпретация экспериментальных данных основана на представлениях об энергетической диффузии носителей по хвостам плотности состояний.

Светоизлучающие приборы на основе тонких пленок аморфных гидрированных полупроводников — одно из интересных приложений этого класса материалов, связанное с перспективой создания цветных индикаторных панелей большой площади. Однако опубликованы лишь отдельные сообщения на эту тему [1–3]. Ее развитие сдерживается технологическими трудностями создания аморфных электролюминесцентных структур, обеспечивающих высокий уровень излучательной рекомбинации инжектируемых носителей в видимом диапазоне длин волн.

Излучательная рекомбинация осуществляется главным образом в  $i$ -слое структуры, куда носители инжектируются из легированных  $p$ - и  $n$ -слоев под действием приложенного электрического поля. В [2–3] было показано, что при введении туннельно-прозрачных диэлектрических прослоек (ТПДП) между легированными и собственным слоями эффективность излучения возрастает, а его спектр смещается в коротковолновую область.

В настоящей работе представлены результаты по влиянию ТПДП на спектры электролюминесценции  $p-i-n$ -структур на основе аморфного  $a\text{-Si}_{1-x}\text{C}_x:\text{H}$  типа структуры, изображенной на рис. 1. Слой прозрачного проводящего диэлектрика (*ITO*) толщиной ~100 Å наносился на кварцевую подложку площадью 30 × 24 мм методом магнетронного распыления. Отдельные слои  $p-i-n$ -структур на носились методом ВЧ разложения смеси газов  $\text{CH}_4$  и  $\text{SiH}_4$  в плазме тлеющего разряда. Толщины слоев, указанные на рис. 1, измерялись с помощью лазерной интерферометрии непосредственно в процессе роста. Для легирования использовались добавки (0.1 ± 1%) в основную смесь фосфина  $\text{PH}_3$  ( $n$ -слой) и диборана  $\text{B}_2\text{H}_6$  ( $p$ -слой). Весь процесс получения  $p-i-n$ -структур происходил в многокамерной установке в едином цикле без выноса на воздух между промежуточными операциями [4]. В качестве верхних металлических контактов использовались Ti-электроды, напыленные магнетронным распылением через маску, содержащую 50 отверстий площадью 3  $\text{мм}^2$  каждое. В результате получалась матрица электролюминесцентных ячеек, каждая из которых исследовалась в отдельности.

Варьирование соотношения

$$K = \frac{[\text{CH}_4]}{[\text{CH}_4] + [\text{SiH}_4]}$$

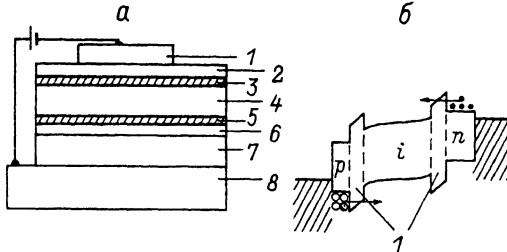


Рис. 1. Светоизлучающая структура на основе  $a\text{-Si}_{1-x}\text{C}_x:\text{H}$ .

*a* — принципиальное изображение структуры: 1 — металлический электрод; 2 — *n*-слой  $a\text{-Si}_{1-x}\text{C}_x:\text{H}$ , толщина слоя —  $d = 300 \text{ \AA}$ ,  $E_g^{\text{opt}} = 2 \text{ эВ}$ ; 3, 5 — ТПДП слои  $a\text{-Si}_{1-x}\text{C}_x:\text{H}$ ,  $d = (40\text{--}60) \text{ \AA}$ ,  $E_g^{\text{opt}} = 2 \text{ эВ}$ ; 4 — *i*-слой  $a\text{-Si}_{1-x}\text{C}_x:\text{H}$ ,  $d = 500 \text{ \AA}$ ,  $E_g^{\text{opt}} = 2.57 \text{ эВ}$ ; 6 — *p*-слой  $a\text{-Si}_{1-x}\text{C}_x:\text{H}$ ,  $d = 150 \text{ \AA}$ ,  $E_g^{\text{opt}} = 2 \text{ эВ}$ ; 7 — прозрачный проводящий электрод (ITO),  $d = 1000 \text{ \AA}$ ; 8 — кварцевая подложка. *b* — энергетическая диаграмма светоизлучающей структуры при прямом смещении; 1 — ТПДП слой.

от 0.2 до 0.98 позволяло получать пленки с шириной оптической щели  $E_g^{\text{opt}}$  от 2 до 3.5 эВ. При выборе конкретных значений мы руководствовались следующими соображениями. С ростом содержания углерода в пленках  $a\text{-Si}_{1-x}\text{C}_x:\text{H}$  их полупроводниковые свойства ухудшаются. Легированные слои с  $E_g^{\text{opt}} > 2 \text{ эВ}$  практически перестают быть инжектирующими. Увеличение же  $E_g^{\text{opt}} > 2.6 \text{ эВ}$  делает пленки изоляторами, не обеспечивающими токоперенос. Поэтому мы выбрали  $E_g^{\text{opt}} \approx 2 \text{ эВ}$  ( $K = 0.2$ ) для *p*- и *n*-слоев,  $E_g^{\text{opt}} \approx 2.57 \text{ эВ}$  ( $K = 0.67$ ) для *i*-слоя,  $E_g^{\text{opt}} = 3 \div 3.5 \text{ эВ}$  ( $K = 0.90 \div 0.98$ ) для ТПДП.

Спектры электролюминесценции наблюдались при комнатной температуре и приложенном прямом смещении до 25 В (при больших смещениях наступал пробой). Регистрация излучения велась с помощью оптической установки КСВУ-23. Приемником служил ФЭУ-100. В качестве примера на рис. 2 показаны спектры излучения для структур с разными значениями  $E_g^{\text{opt}}$  ТПДП при одинаковом токе через структуры  $15 \text{ mA/cm}^2$ . Видно, что при увеличении  $E_g^{\text{opt}}$  ТПДП от 3.0 до 3.5 эВ и сохранении тока неизменным спектр заметно сдвигается в коротковолновую область. Кроме того, увеличение тока в структуре подавляет коротковолновую часть спектра. Значение яркости для лучших образцов составляло  $\sim 0.5 \text{ кд/m}^2$  при токе  $\sim 250 \text{ mA/cm}^2$ . В то же время яркости различных элементов одной матрицы были неодинаковы, различались, как правило, в пределах одного порядка величины.

Отметим, что в структурах без ТПДП свечение наблюдалось лишь в инфракрасной области и было столь слабым, что не удалось записать его спектр.

Приступая к обсуждению полученных результатов, заметим прежде всего, что в структурах без ТПДП при прямом смещении носители заряда из легированных слоев наиболее вероятно инжектируются в локализованные состояния *i*-слоя. Такой

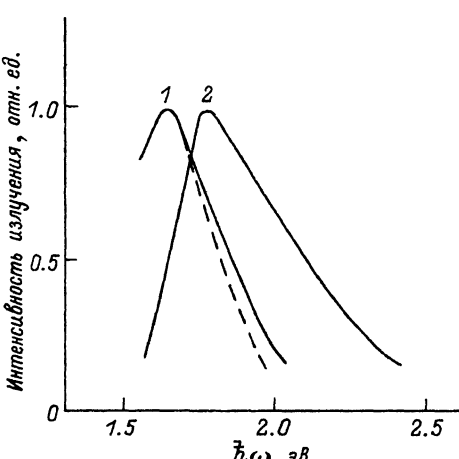


Рис. 2. Спектры электролюминесценции двух структур на основе  $a\text{-Si}_{1-x}\text{C}_x:\text{H}$  с различными ТПДП при одинаковом токе  $15 \text{ mA/cm}^2$  (сплошные линии); штриховая кривая соответствует току  $60 \text{ mA/cm}^2$ .

1 — ТПДП с  $E_g^{\text{opt}} = 3.0 \text{ эВ}$ ;  $K = \text{CH}_4/(\text{CH}_4 + \text{SiH}_4) = 90\%$ ;  
2 — ТПДП с  $E_g^{\text{opt}} = 3.5 \text{ эВ}$ ;  $K = \text{CH}_4/(\text{CH}_4 + \text{SiH}_4) = 98\%$ .

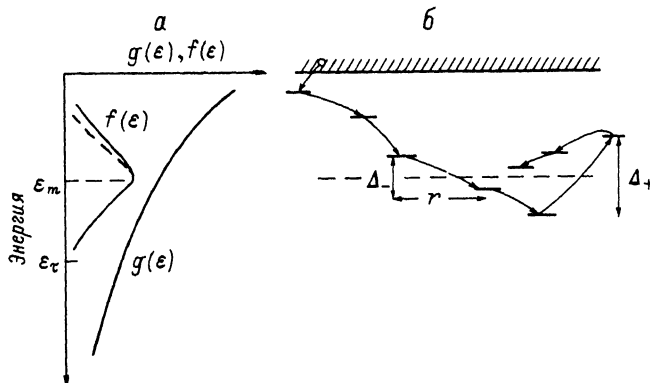


Рис. 3. Функция распределения и диффузия носителей в энергетическом пространстве.

*a* — хвост плотности состояний  $g(\epsilon)$  и функция распределения  $f(\epsilon)$  носителей по энергиям за счет энергетической диффузии.  $\epsilon_m$ ,  $\epsilon_t$  — транспортная и рекомбинационная энергия соответственно [см. формулы (3), (4)]; штриховая линия — изменение  $f(\epsilon)$  при слабом увеличении электрического поля. *б* — понижение энергии носителя при переходах между локализованными состояниями с параметрами переходов  $\Delta_-$  и  $\Delta_+$  вниз и вверх по энергиям на расстояние  $r$ .

способ инжекции обладает сравнительно малой эффективностью, поскольку подвижность носителей в локализованных состояниях мала. Кроме того, при инжекции непосредственно в локализованные состояния электроны и дырки разделены по энергии на величину, заметно меньшую  $E_g^{\text{opt}}$ , соответствующую инфракрасным фотонам. В результате может иметь место лишь сравнительно слабое и длинноволновое излучение, как это и наблюдалось.

При наличии ТПДП почти все приложенное напряжение падает на них. При этом энергии туннельно инжектируемых электронов и дырок оказываются заметно выше соответствующих краев щели подвижности в  $i$ -слое: идет инжекция в распространенные состояния  $i$ -слоя. Однако за характерное время  $\tau_r$  ( $> 10^{-8}$  с) до излучательной рекомбинации инжектированные носители заряда понижают свою энергию и попадают в локализованные состояния хвостов зон (времена энергетической релаксации  $\tau_0 \sim 10^{-12}$  [5]), поэтому высвечиваются фотоны с энергиями  $\hbar\omega$  меньше  $E_g^{\text{opt}}$ .

Наблюдаемая колоколообразная форма спектра излучения предопределена экспоненциальным спадом плотности состояний хвостов зон в глубь щели подвижности типа  $g(\epsilon) = g_0 \exp(-\epsilon/\epsilon_0)$  (рис. 3). При малых  $\epsilon$  вблизи краев щели  $g(\epsilon)$  велика, потому мало характерное время прыжков носителей между локализованными состояниями. В каждом прыжке носитель меняет свою энергию на малую величину  $\Delta(\epsilon) \ll \epsilon$ . При этом распределение носителей по энергии  $f(\epsilon)$  устанавливается за счет энергетической диффузии, а процессы рекомбинации несущественны. Использование диффузионного приближения [6] позволяет записать

$$f(\epsilon) = f_0(\epsilon) \left[ \frac{f(0)}{f_0(0)} - G \int_0^\epsilon \frac{de}{B(\epsilon) f_0(\epsilon)} \right], \quad (1)$$

где  $G$  — скорость генерации неравновесных носителей (в  $\text{см}^{-3} \cdot \text{с}^{-1}$ ),  $f_0 \sim g(\epsilon) e^{\epsilon/T}$  — равновесная функция распределения. Коэффициент диффузии по энергии

$$B(\epsilon) = \nu \Delta^2 \exp \left\{ - \frac{2r(\epsilon)}{a} \right\}, \quad r(\epsilon) = [g(\epsilon) \Delta]^{-1/3}, \quad (2)$$

где  $\zeta(\epsilon)$  — длина прыжка,  $a$  — радиус локализации на центре,  $\nu \sim 10^{13} \text{ с}^{-1}$  — частотный фактор. Подынтегральное выражение в (1) имеет резкий минимум около энергии

$$\epsilon_m = 3\epsilon_0 \ln \left[ \frac{3}{2} \frac{\epsilon_0}{T} (g_0 a^3 \Delta)^{1/3} \right]. \quad (3)$$

При  $\epsilon < \epsilon_m$  функция  $f(\epsilon)$  растет с ростом  $\epsilon$  подобно  $f_0(\epsilon)$ . Физически это означает, что инжектированные носители быстро проходят область малых  $\epsilon$ , накапливаясь на глубоких уровнях, где их диффузия затруднена. Такое поведение  $f(\epsilon)$  отвечает коротковолновому крылу спектра излучения. При  $\epsilon > \epsilon_m$  резкий рост интеграла в (1) приводит к убыванию  $f(\epsilon)$  с ростом  $\epsilon$ . Физически это обусловлено неэффективностью прыжков по энергии вниз в области резко убывающей плотности состояний  $g(\epsilon)$ . Спад  $f(\epsilon)$  с ростом  $\epsilon$  можно соотнести с длинноволновым крылом спектра излучения. Максимуму спектра отвечает энергия  $\epsilon_m$  (рис. 3).

Приведенный анализ формы  $f(\epsilon)$  не учитывал процессов электрон-дырочной рекомбинации. Это справедливо, пока характерные времена диффузии  $\tau_B \sim \epsilon^2/B(\epsilon)$  меньше времен рекомбинации  $\tau = \min\{\tau_r, \tau_{nr}\}$ , где  $\tau_{nr}$  относится к безызлучательным процессам. В частности, если  $\tau_B(\epsilon_m) \ll \tau$ , носители в существенной области спектра рекомбинируют со скоростью, пропорциональной  $f(\epsilon)/\tau$ . В результате функция распределения  $f(\epsilon)$  сохраняет свой функциональный вид, меняя только нормировку.

В противном случае  $\tau_B(\epsilon_m) \gg \tau$  существенную роль играет энергия

$$\epsilon_r = 3\epsilon_0 \ln \left[ \frac{1}{2} (g_0 a^3 \Delta)^{1/2} \ln(\nu\tau) \right], \quad (4)$$

для которой  $\epsilon^2/B(\epsilon) = \tau$ . Функция распределения следует закону (1) только при  $\epsilon < \epsilon_r$ , а при  $\epsilon > \epsilon_r$  она затухает с ростом  $\epsilon$  благодаря рекомбинации.

Заметим, что выражения (3) и (4) для характерных энергий  $\epsilon_m$ ,  $\epsilon_r$  фактически совпадают с выражениями для транспортной и рекомбинационной энергий, полученными в [7] другими методами (без рассмотрения энергетической диффузии). В [7] анализировался режим рекомбинации, в котором электроны и дырки рождаются в одном акте. Экспериментальная же ситуация, реализуемая в нашей работе, отвечает независимой генерации электронов и дырок.

Имея в виду типичные для аморфных полупроводников времена  $\tau \gg 10^{-8} \text{ с}$  [8], можно ожидать, что  $\epsilon_r > \epsilon_m$  (рис. 3). В этом случае вид  $f(\epsilon)$  определяется в основном энергетической диффузией и максимум спектра излучения сдвинут относительно  $E_g^{\text{opt}}$  на энергию

$$E_g^{\text{opt}} - \hbar\omega_m = \epsilon_m^{(e)} + \epsilon_m^{(h)},$$

где индексы  $e$  и  $h$  относятся к электронам и дыркам. Полагая  $\epsilon_m^{(e)} \approx \epsilon_m^{(h)}$  и взяв для оценки типичные значения  $g_0 \sim 10^{21} \text{ эВ}^{-1} \cdot \text{см}^{-3}$ ,  $a = 10^{-7} \text{ см}$ ,  $\Delta \sim \epsilon_0 \sim 0.1 \text{ эВ}$ , найдем  $E_g^{\text{opt}} - \hbar\omega_m \approx 7 \epsilon_0 \approx 0.7 \text{ эВ}$ . Эта оценка качественно согласуется с наблюдаемой величиной.

Наш подход позволяет качественно понять влияние на спектр электрического поля в  $i$ -слое ( $\mathcal{E} \sim 100 \text{ кВ/см}$ ). Оно, во-первых, может обуславливать эффективный разогрев электронной системы, уменьшая  $\epsilon_m$  и сдвигая спектр излучения в коротковолновую область. Во-вторых, поле обедняет равновесную заселенность  $f_0(\epsilon)$  сравнительно мелких локализованных состояний за счет их полевой ионизации. При этом в согласии с (1) уменьшается величина  $f(\epsilon)$  и подавляется коротковолновое крыло спектра. В-третьих, излучательная рекомбинация электрон-дырочной пары с плечом  $R$  при наличии поля  $\mathcal{E}$  обеспечивает высвечивание фотона с

энергией на  $\delta\omega \approx e\mathcal{E}R$ , меньшей, чем в отсутствие поля. Это должно сдвигать спектр излучения в длинноволновую область.

В случае актуальных здесь высоких  $T \approx 300$  К разогрев электронной системы, по-видимому, не существен, поскольку, как показано в [7], он может иметь место лишь при  $T < e\mathcal{E}a/2$ . Эффект же полевого обеднения  $f(\epsilon)$  и подавления коротковолнового крыла соответствует экспериментальным результатам рис. 2. Третий из отмеченных полевых эффектов — длинноволновой сдвиг спектра — проявляется, по нашему мнению, в различии между спектрами излучения структур с различными ТПДП. Мы имеем в виду, в частности, влияние электрического поля, создаваемого заряженными поверхностными состояниями на границе  $i$ -слоя с ТПДП. Концентрация этих состояний растет с увеличением различия составов  $i$ -слоя и ТПДП. Можно ожидать, что при изменении концентрации  $K$  при изготовлении ТПДП в 5 раз (от  $K = 0.02$  до  $K = 0.1$ ), отвечающем данным рис. 2, плотность поверхностных состояний  $\sigma$  меняется на величину порядка себя самой. Задавшись типичным значением  $\sigma \sim 10^{12}$  см $^{-2}$  [9], можно оценить создаваемое ими поле  $\mathcal{E} = 4\pi\epsilon_0\sigma/a \sim 100$  кВ/см ( $a$  — диэлектрическая постоянная). Для оценки сдвига спектра, созданного таким полем, заметим, что условие эффективного излучения имеет вид  $R \approx r(\epsilon_m)$  [при  $R > r(\epsilon_m)$  электрон и дырка с подавляющей вероятностью

разойдутся без рекомбинации]. Из (2), (3) следует, что  $r(\epsilon_m) \approx \frac{3}{2}\frac{\epsilon_0}{a}\frac{T}{T}$ . В результате

$\delta\omega \approx \frac{3\epsilon_0}{2T}e\mathcal{E}a$ . Использованные выше значения  $\mathcal{E} = 100$  кВ/см,  $a = 10^{-7}$  см,  $\epsilon_0/T = 3$  дают  $\delta\omega \approx 0.1$  эВ. Эта величина согласуется с данными рис. 2.

В случае же изменения внешнего напряжения на малую величину ~10% сдвиг  $\delta\omega \sim 0.01$  эВ не замечен и единственным полевым эффектом остается отмечавшееся подавление коротковолнового плеча спектра.

В заключение отметим, что наблюдаемый разброс яркостей отдельных элементов матрицы подтверждает в целом механизм полевой туннельной инжекции через ТПДП. В рамках этого механизма экспоненциально важны незначительные статистические флуктуации состава ТПДП,  $i$ -слоя и плотности поверхностных состояний, приводящие к флуктуациям электрического поля в ТПДП. Несмотря на свою малость, статистические флуктуации электрического поля экспоненциально меняют туннельную прозрачность ТПДП, а значит, и инжекционный ток.

## СПИСОК ЛИТЕРАТУРЫ

- [1] Kruangam D., Toyama T., Hattori Y., Deguchi M., Okamoto H., Hamakawa Y. // J. Non-Cryst. Sol. 1987. V. 97-98. P. 293—295.
- [2] Kruangam D., Deguchi M., Toyama T., Okamoto H., Hamakawa Y. // IEEE Trans. Electron. Dev. 1988. V. 35. N 7. P. 957—965.
- [3] Paasche S. M., Toyama T., Okamoto H., Hamakawa Y. // IEEE Trans. Electron. Dev. 1989. V. 36. N 12. P. 2895—2902.
- [4] Феоктистов Н. А., Коркин И. В., Певцов А. Б., Пилатов А. Г. // Матер. Межд. конф. «Некристаллические полупроводники-89». Ужгород, 1989. Ч. III. С. 233—235.
- [5] Shklovskii B. I., Fritzsche H., Baranovskii S. D. // Phys. Rev. Lett. 1989. V. 62. N 25. P. 2989—2993.
- [6] Лифшиц Е. М., Питаевский Л. Г. Физическая кинетика (Теоретическая физика. Т. 10). М., 1979. 527 с.
- [7] Shklovskii B. I., Levin E. I., Fritzsche H., Baranovskii S. // Advances in Disordered Semiconductors. V. 3. «Transport, Correlation and Structural Defects» / Ed. by H. Fritzsche. Singapore—London—Hong Kong, 1990. P. 161—211.
- [8] Street R. A. // Adv. Phys. 1981. V. 30. P. 593—675.
- [9] Зи С. Физика полупроводниковых приборов. М., 1984. 655 с.